

防衛大学校土木工学教室 正会員 加藤清志

1. まえがき

プレーンコンクリートの圧縮載荷に伴う変形挙動のうち、比例限度・臨界応力(Critical stress)・流動応力(Flow stress)・終局強度といった一連の変形特異点は、その物性評価・応力レベル(残存強度)・終局破壊(カタストロフィ)の推定あるいは予知のうえできわめて重要な意義をもつものである。このような観点から、これら変形特異点と強度との関係を定量化してきた^{1),2)}。とくに、体積変化は材料全体の破壊のエネルギーに關係する物理量であり、A-E特性値とよく対応するので 材料の力学的挙動を評価するのにすぐれた手法とされている。前報において、普通コンクリートの圧縮・曲げ・せん断各試験、軽量骨材コンクリートの圧縮・曲げ各試験について A-E 観察し、基礎的資料を求めた。本報告では、前段を踏まえ 軽量骨材コンクリートはりの曲げ・せん断載荷状態での A-E 標定とクラック伝播の特徴について述べる。

2. 実験装置と供試体の作製

1) A-E 装置 A-E T Corp. (U.S.A) 製プロセッサー Model 201で、センサーは Model AC 175 L, ロケーターは Model 3000, オーディオモニター Model 202A 等を使用した。

2) 供試体 軽量コンクリートの配合は 表-1 によった。養生は 1 日湿空・1 週水中・3 週室内で行なった。供試体寸法は

表-1 配合表

項目 種別	W/C (%)	S/a (%)	スランプ (cm)	単位水量 (kg/cm ³)	(絶乾)重量 (kg/cm ³)			混和剤 (g)
					C	S	G	
I	53.2	53.0	21	190	357	542	389	893
II	40.5	38.0	4	170	420	467	610	1050

工切りを長手方向中央に、また、

せん断試験用には 中央部 12cm に 2 面の切り欠きを入れた。

3) 載荷装置 曲げ(12cm × 3, 3 等分点載荷)・(2面)せん断には 力量 20 t の圧縮試験機を使用した。

4) センサー取付け位置 曲げ・せん断載荷とも A-E の RMS・Counter の検出には 供試体の長手方向の中央に、ひびわれ発生源位置標定には 供試体の両端中央に それぞれセンサーを圧着した。

3. 実験結果と考察

1) 曲げ試験 ①破壊規準としての PAE いま、"荷重-Counter" 曲線を対数表示した場合の折点を荷重特異点と呼び PAE とすると、最大曲げ荷重 $P_{max} = 450 \sim 750 \text{ kg}$ およびこの切り欠き深さの範囲では大きな影響を受けず、 $PAE/P_{max} = 0.823$ となった。 ② A-E のスパン方向の分布 一例を図-1 に示す。パターンは図-2～7 の 6 種に分類される。a を切り欠き深さ、W をはりの高さとすると、A 型は $a/W = 0.15$ のとき 供試体数 31 本のうち 約 60 % で、スランプの小さいものほど多い。A' 型は $a/W = 0.05$ が約 60 %, $a/W = 0.15$ が約 40 % で、スランプの小さいものほど多い。B 型は $a/W = 0.05, 0.10, 0.15$ で均等に出現し、スランプの大きいものほど多い。C 型は $a/W = 0.10$ が約 60 % で、スランプの大きいものほど多い。D 型は切り欠きなしで約 75 % も出現する。E 型は $a/W = 0.10, 0.05$ でそれぞれ約 70 %, 約 30 % となる。最大荷重の平均順位は D > E > A' > B > A > C となる。A-E 分布から破断箇所の推定は可能である。

2) せん断試験 ①破壊規準としての SAE 曲げ試験の場合と同様に求めた荷重特異点を SAE とすると、最大せん断荷重 $S_{max} = 520 \sim 1643 \text{ kg}$ およびこの切り欠き深さの範囲では大きな影響を受けず、 $SAE/S_{max} = 0.845$ となり、A-E 評価法の有効性がわかる。 ② A-E スパン方向の分布 一例を図-8 に示す。パターンは図-9～14 の 6 種に分類される。切り欠き深さと分布状態とは特定化できない。破

断箇所は A・E 集中箇所にあるが、必ずしも一致はしない。切欠き位置で破断するのは B・C・D 型に多く、とくに 2 面の切欠きのうち一方に A・E が卓越する場合、および切欠きの(刃)幅が小さいと D 型が多くなる。

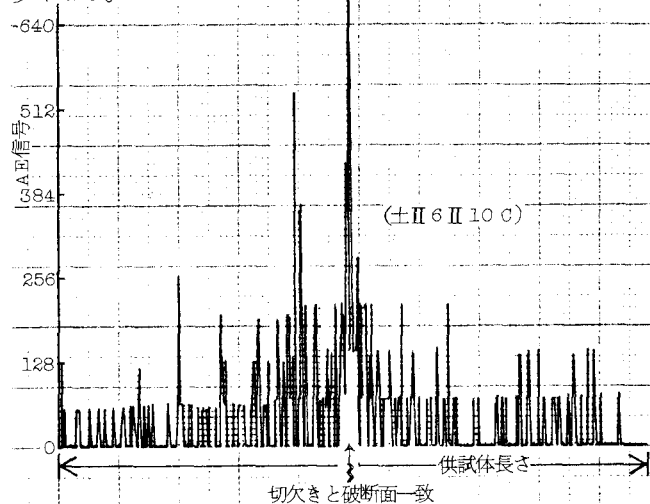


図-1 曲げを受けたはりのスパン方向の A-E 分布の例

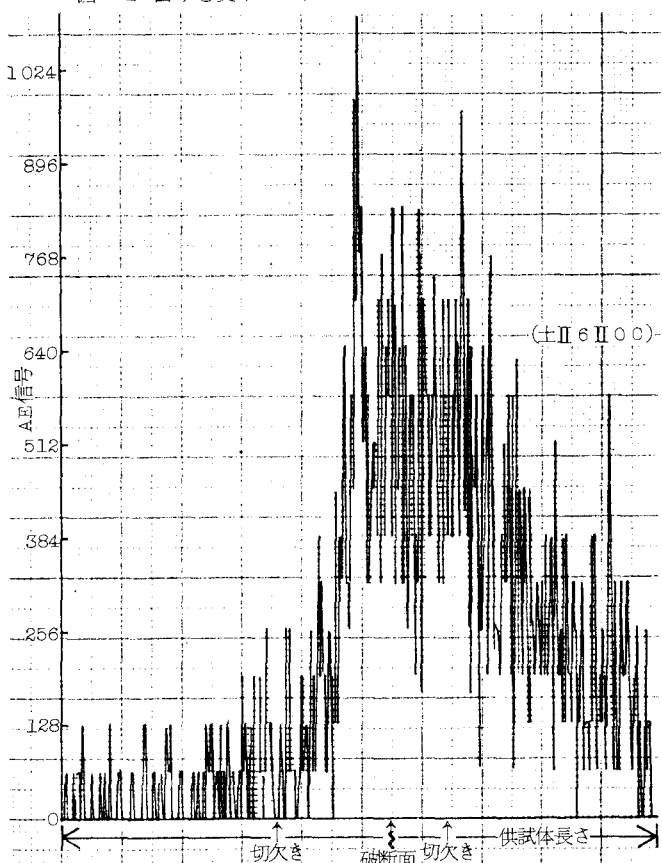
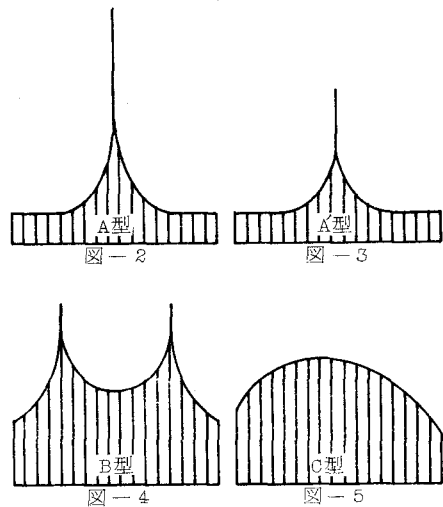
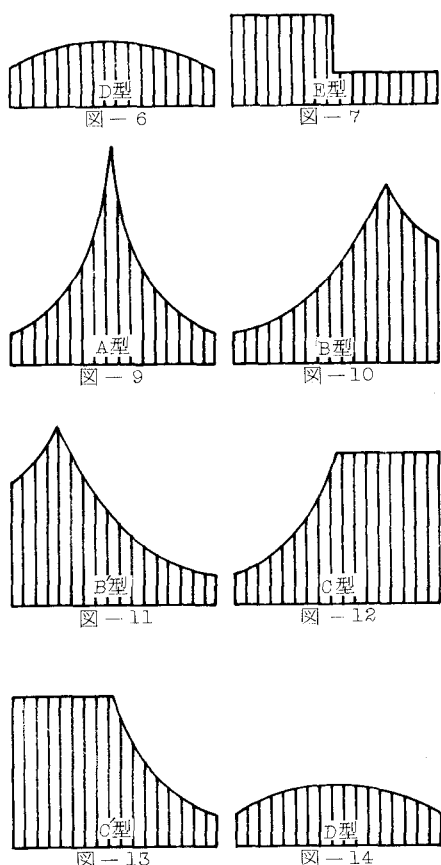


図-8 せん断力を受けたはりのスパン方向の A-E 分布の例



4. あとがき 本研究には 防大 堀越技官、同 鶴田職員らの助力を受けた。付記して謝意を表する。
 <参考文献> 1) 加藤清志：土論 208, s.47.12, pp. 121-136. 2) 同上：32回年講 5, s.52.10, pp. 15-16. 3) 同上：33回年講 5, s. 53.9, pp. 3-4.